

# Project1 实验报告

PB21010479 王曹励文

2023 年 11 月 25 日

## 目录

|                    |    |
|--------------------|----|
| 1 问题重述             | 1  |
| 2 提出算法             | 2  |
| 2.1 问题一            | 2  |
| 2.2 问题二            | 3  |
| 2.2.1 三角剖分         | 3  |
| 2.2.2 多边形剖分        | 8  |
| 2.2.3 改变填充率的范围     | 10 |
| 2.2.4 改变材料与液体的相对密度 | 11 |
| 2.3 问题三            | 12 |
| 3 总结与改善            | 12 |
| 4 实验的完善与改进         | 13 |

## 1 问题重述

Project1 要求研究天鹅的浮力平衡问题。给定液体和材料的密度，以天鹅在水下的面积代替水下的体积，假定天鹅的 2D 平面图案通过一定的厚度挤出成 3D 结构，天鹅的图案如图 1 所示。要求完成以下项目内容：

1. 在水的密度是  $1\text{g/cm}^3$ ，天鹅的  $1/5$  在水下，(笔者根据题目误认为给定的  $1/5$  为在水中体积的占比，后来发现图中的意思应该是高度的占比，但已经来不及修改，最后在第四部分中进行了修改)，通过密度为  $1.25\text{g/cm}^3$  的 PLA 材料，以 50% 的填充率进行 3D 打印的条件下，天鹅是否可以在图中漂浮；若不然，通过均匀改变天鹅的填充比例，可否按照图中姿势漂浮；并进行物理验证。
2. 对天鹅分别实现三角形剖分与 Voronoi 多边形剖分，仍然使用 PLA 对天鹅进行 3D 打印，每个三角形/多边形有一个单独的填充百分比，范围为 0 -100%，求解三角形的具体百分比是多少能使形状以最稳定的方式漂浮，以及优化形状的新质心。另一方面，由于当填充比例非常低时，机械性能可能太弱，因此还需求解填充比例在 10%-90% 的优化结果吗。最后，考虑用其他材料打印和液体密度对优化结果的影响。
3. 考虑能否让形状沿着指定方向进行漂浮的过程，分析与前面已给出模型的差异。

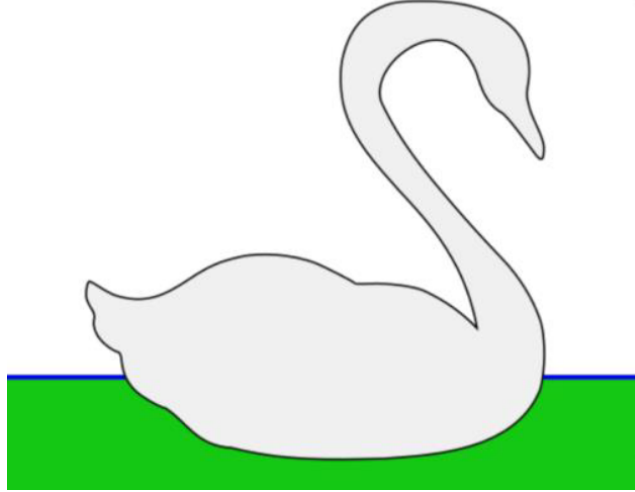


图 1: 给定天鹅的图案

## 2 提出算法

算法的核心如下:

1. 第一问的条件是填充率处处相等, 即天鹅的密度均匀分布, 因此此时的重心等于浮心, 由于浮力与体积的关系, 浮心即用形心替代, 因此只需考虑浮力大小和重力大小的关系, 建立对应的物理模型即可.
2. 第二问首先如何对天鹅进行良好的剖分, 在三角剖分时, 笔者给出了两种剖分方式, 一种为在天鹅内部创造均匀分布的点, 之后进行剖分; 另一种剖分更好的实现了天鹅的几何, 称为良好的剖分. Voronoi 多边形剖分笔者直接调用了现有的函数, 并利用了良好的三角剖分. 其次考虑对每个多边形给出优化后的填充率的值, 根据模型背景, 填充率有范围限制, 浮心应等于重心, 浮力应等于重力, 在该三者的条件下, 对填充率数组进行优化, 使得重心的纵坐标达到最小值. 最后再考虑将填充的结果可视化.
3. 第三问为开放式问题, 天鹅开始移动的物理背景复杂度明显提升.
4. 请从 main 函数中运行.

### 2.1 问题一

根据分析, 填充率处处相等, 即天鹅的密度均匀分布, 因此此时的重心等于浮心, 由于浮力与体积的关系, 浮心即用形心替代, 因此只需考虑浮力大小和重力大小的关系, 建立对应的物理模型即可.

浮力的表达式为

$$F = \rho_0 g S_0; \quad (2.1)$$

重力的表达式为

$$G = k \rho g S; \quad (2.2)$$

其中  $\rho_0$  表示液体的密度,  $S_0$  表示在水下的面积,  $\rho$  表示材料的密度,  $k$  表示填充率,  $S$  表示物体的面积.

根据题干描述,

$$S_0 = \frac{1}{5}S; \quad (2.3)$$

可以求得

$$k = \frac{\rho_0}{5\rho} = \frac{1}{6.25} = 16\%. \quad (2.4)$$

因此只有 16% 的填充率时可以达到平衡的要求.

## 2.2 问题二

### 2.2.1 三角剖分

对于三角剖分, 笔者给出了两种方式, 第一种方式为生成天鹅内部均匀的点, 之后进行三角剖分, 使用函数 `Boundary_Points_Generate(boundary,x,y)`, `boundary` 为存储边界的值, `x` 和 `y` 参数分别表示 `x` 和 `y` 方向分割的长度, 该函数返回需要剖分的点, 使用函数 `Boundary_Points_Delaunay(boundary,points)` 对生成的点集进行三角剖分, 返回剖分的生成关系, 函数 `Delaunay_Depict` 可以对该方式生成对应的图像; 第二种方式存储在文件夹 `First_way` 中, 核心思路为更加具备几何性质的 `ode` 三角剖分, `gen_mesh` 函数对给定的边界实现内部剖分, 通过控制方片的半径大小实现分割的精细程度, 返回剖分的顶点和生成关系, `Directly_Depict` 函数可以针对其绘制剖分图像.

不同数目均匀分割的三角剖分如图 2 所示, 不同精细程度的好的剖分如图 3 所示, 可以看到图 3 所示的剖分更具有好的几何性质.

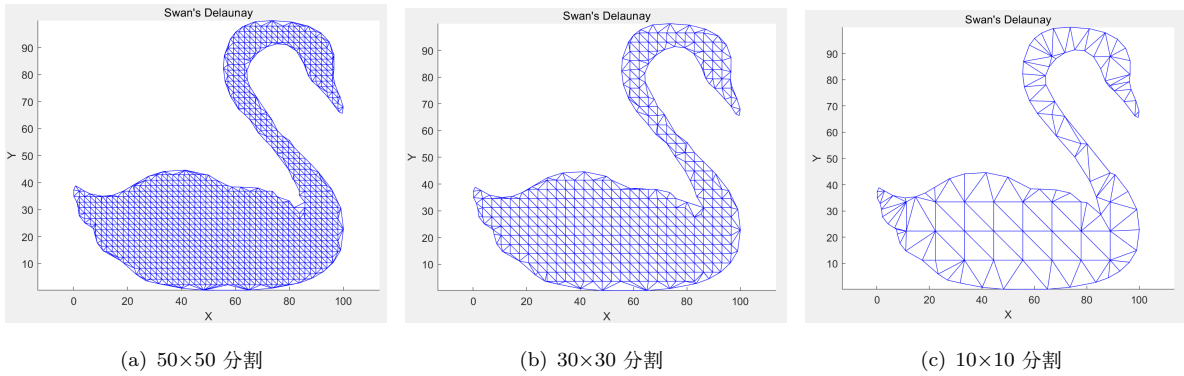


图 2: 均匀分割的三角剖分

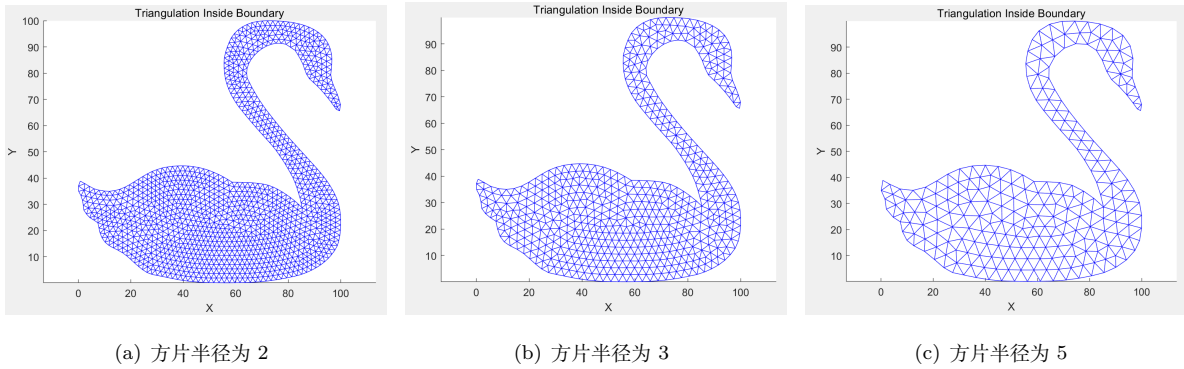


图 3: 好的三角剖分

之后考虑模型的优化, 根据模型背景, 填充率有范围限制, 浮心应等于重心, 浮力应等于重力, 在该三者的条件下, 对填充率数组进行优化, 使得重心的纵坐标达到最小值.

由于每一个小分割形状均为均匀填充的, 因此其重心与浮心相同, 坐标均为

$$x\_average = \frac{\sum_{i=1}^n x_i}{n}; \quad (2.5)$$

其中  $n$  表示该图形的边数.

浮心的计算公式为

$$shape\_center = \frac{\sum Area(i)x(i)}{\sum Area(i)}; \quad (2.6)$$

其中  $x(i)$  表示第  $i$  个面积元重心与浮心值,  $Area(i)$  表示第  $i$  个面积元的面积. 重心的计算公式为

$$gravity\_center = \frac{\sum Area(i)k(i)x(i)}{\sum Area(i)k(i)}; \quad (2.7)$$

其中  $k(i)$  表示第  $i$  个面积元的填充率. 重力的表达式为

$$gravity = \rho g \sum Area(i)k(i); \quad (2.8)$$

浮力的表达式为

$$floatage = \rho_0 g \cdot \frac{1}{5} \sum Area(i); \quad (2.9)$$

根据以上关系, 对于三角剖分, 编写了函数 Gravity(k, points, insideTriangles) 用来计算填充率数组为 k, 剖分点集 point, 剖分关系 insideTriangles 对应的重力, Gravity\_Center(k, points, insideTriangles) 用以计算相同参数的重心, Shape\_Center(points, insideTriangles) 用以计算浮心, Floatage(points, insideTriangles) 用以计算浮力. 采用非线性规划的方式, 利用函数 NonlinearOptimization(points, insideTriangles) 进行求解, 返回数组 k\_opt 的值, 存储每一个剖分的填充率.

最后考虑将问题进行可视化处理, ColorAndPlotTriangles(k\_opt, insideTriangles, points, 64) 函数可以绘制染色后的天鹅图像, 64 表示所需要的颜色数.

对于不同类型的三角剖分, 我们的实验结果如下:

1. 50×50 的均匀三角剖分, 优化的填充率数组见 50×50 均匀分布 \_ 三角剖分文件所示. 由于分割是较为细致的, 计算量也较大, 最终达到的重心结果见图 5.
2. 30×30 的均匀三角剖分, 优化的填充率数组见 30×30 均匀分布 \_ 三角剖分文件所示. 最终达到的重心结果见图 7.
3. 10×10 的均匀三角剖分, 优化的填充率数组见 10×10 均匀分布 \_ 三角剖分文件所示. 最终达到的重心结果见图 9.
4. 方块半径为 2 的好的剖分, 优化的填充率数组见方片范围为 2 方程分布 \_ 三角剖分文件所示. 最终达到的重心结果见图 11.
5. 方块半径为 3 的好的剖分, 优化的填充率数组见方片范围为 3 方程分布 \_ 三角剖分文件所示. 最终达到的重心结果见图 13.
6. 方块半径为 5 的好的剖分, 优化的填充率数组见方片范围为 5 方程分布 \_ 三角剖分文件所示. 最终达到的重心结果见图 15.

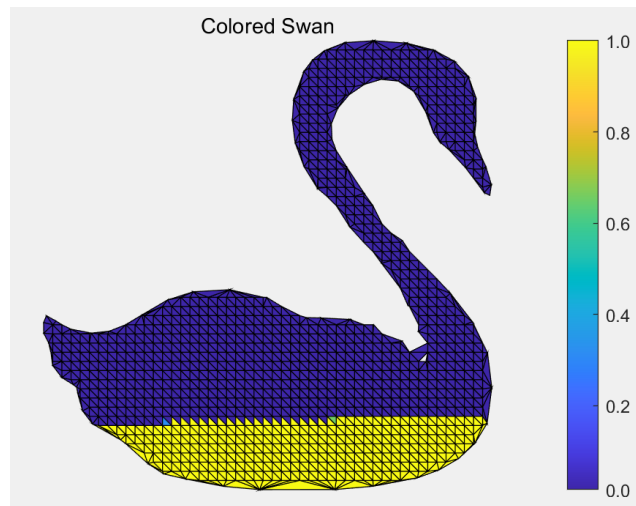


图 4: 50×50 的均匀三角剖分

|            |         |
|------------|---------|
| g_center_x | 58.0205 |
| g_center_y | 8.9379  |

图 5: 50×50 的均匀三角剖分重心结果

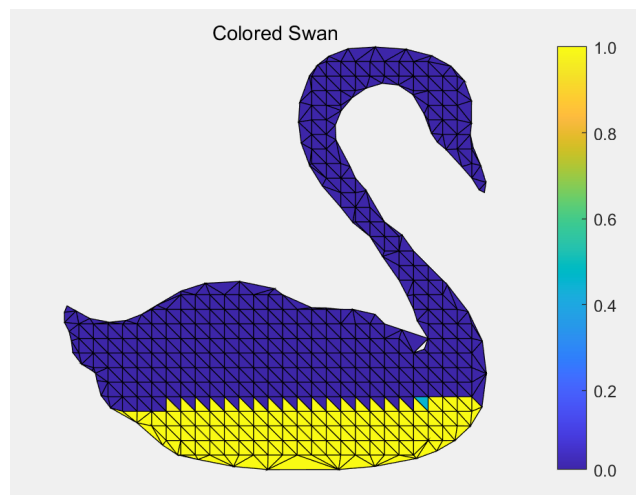
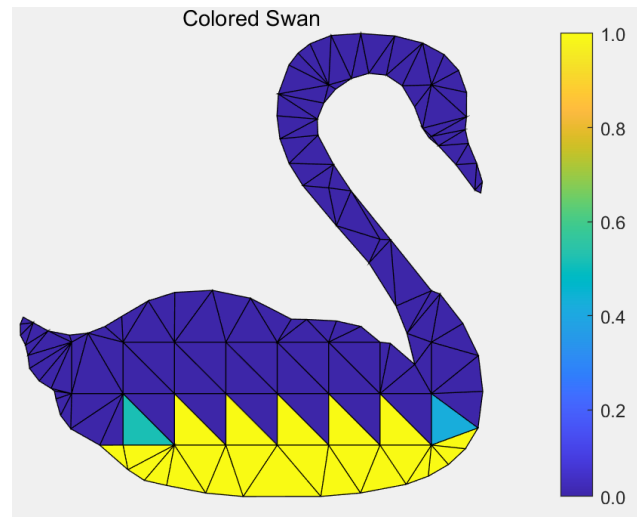


图 6: 30×30 的均匀三角剖分

|            |         |
|------------|---------|
| g_center_x | 58.0217 |
| g_center_y | 8.9761  |

图 7: 30×30 的均匀三角剖分重心结果

可以注意到，对于越精细的分割，效果总是更好的，但是需要很多倍数的运算量，50×50 的运算量达到了惊人的 90w 次，且对于达到 30×30 的效果需要 40w 的计算量，而 30×30 效果的计算量只有 13w 次，因此并不意味着越来越精细的分割是有利于问题的计算的。另一方面，由于此处对填充率没有限制，从计算结果的分布可以看出，均为在较高的三角剖分形状中取填充率约为 0，而较低的三角剖分中填充率约为

图 8:  $10 \times 10$  的均匀三角剖分

|                         |         |
|-------------------------|---------|
| <code>g_center_x</code> | 58.0741 |
| <code>g_center_y</code> | 9.4425  |

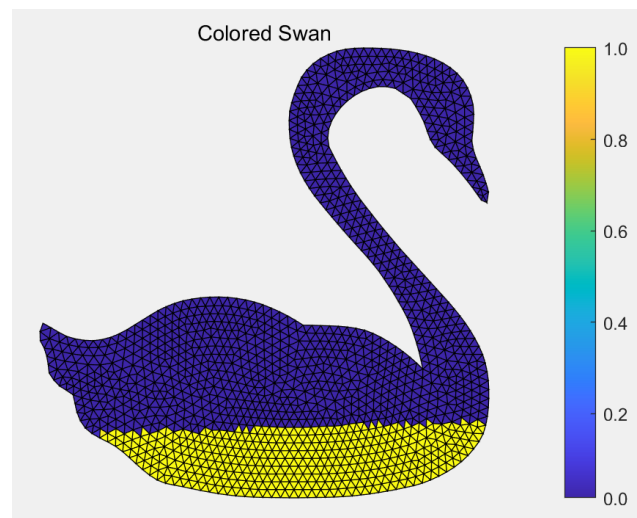
图 9:  $10 \times 10$  的均匀三角剖分重心结果

图 10: 方片范围为 2 方程分布

|                         |         |
|-------------------------|---------|
| <code>g_center_x</code> | 58.1860 |
| <code>g_center_y</code> | 8.9599  |

图 11: 方片范围为 2 方程分布重心结果

1, 这显然是不合乎事实的, 但确实符合直观感受. 而利用良好的三角剖分的计算量是更大的, 对于半径为 2 方片的情形计算量已经达到 108w 次, 最终的结果也并不一定比非常精细的均匀分割优, 但是好处在于均匀分割的内部可能存在瑕点, 且边界处可能分布过于不均匀, 整体的观感较差, 好的剖分由于利用了天鹅的几何性状, 观感非常的好. 对于两个代码, 如果想要改变运算时间, 可以在 `NonlinearOptimization`

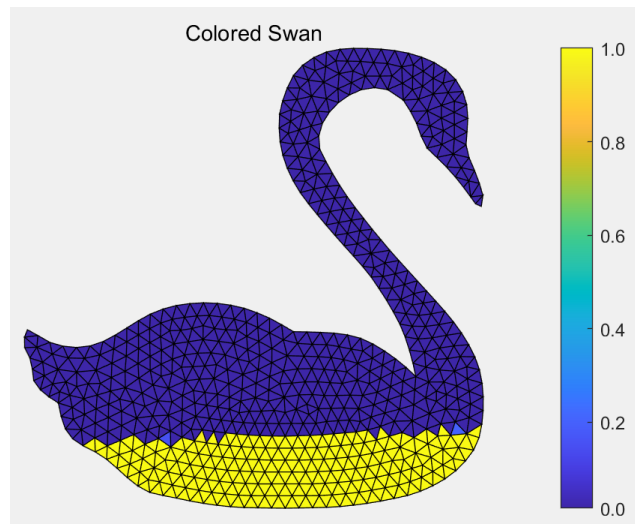


图 12: 方片范围为 3 方程分布

|                         |         |
|-------------------------|---------|
| <code>g_center_x</code> | 58.1732 |
| <code>g_center_y</code> | 8.9700  |

图 13: 方片范围为 3 方程分布重心结果

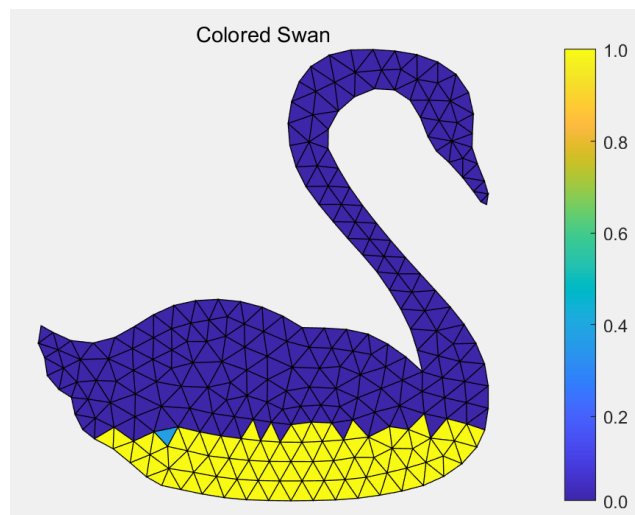


图 14: 方片范围为 5 方程分布

|                         |         |
|-------------------------|---------|
| <code>g_center_x</code> | 58.1502 |
| <code>g_center_y</code> | 9.0207  |

图 15: 方片范围为 5 方程分布重心结果

函数中修改最大计算量，由于达到一定程度的计算后，规划函数再优化的效率很低。

### 2.2.2 多边形剖分

对于多边形剖分，笔者发现均匀分布做出来的多边形剖分效果不好，完全没有用到所谓的几何性质，由于过度对称导致中间的几何形状均为正方形，如图 16 所示. 因此笔者只给出了基于好的三角剖分的多边形剖分，先利用 `gen_mesh(boundary)` 函数生成好的点集，再利用函数 `[v,c] = voronoi(points)` 直接生成多边形剖分，`v` 表示点集合，`c` 蕴含了生成关系. 需要注意的是 `v` 中含有 `inf` 点，因此我们将 `c` 中能索引到 `inf` 的多边形，删掉 `inf`，否则无法利用 `polyshape` 函数确定多边形. `Voronoi_inter(v,c, boundary)` 函数的目的是确定天鹅边界与多边形剖分的交集，并返回在天鹅内部的多边形剖分，这些多边形才是有效的，需要计算的. `Voronoi_Depict(v,c,boundary)` 函数用来绘制多边形剖分的图像. 但是由于 `v` 存在 `inf`，函数的局限性导致天鹅可能存在边界的坏点，导致边界的多边形剖分并不如想象的自然. 越精细的分割边界处是越自然的. 如图 17 所示，相比之下均匀剖分的边界效果是更美观的，但是对于分割不细的均匀分割，边界还可能出现大面积的坏点，如图 18 所示. 根据已经推导的重力浮力等关系，对于多边

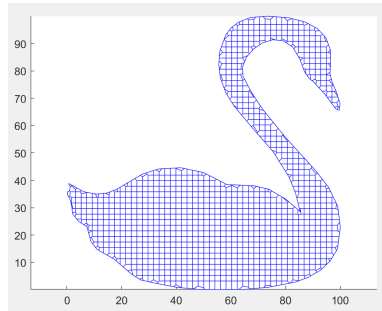


图 16: 均匀分割多边形剖分绘制结果

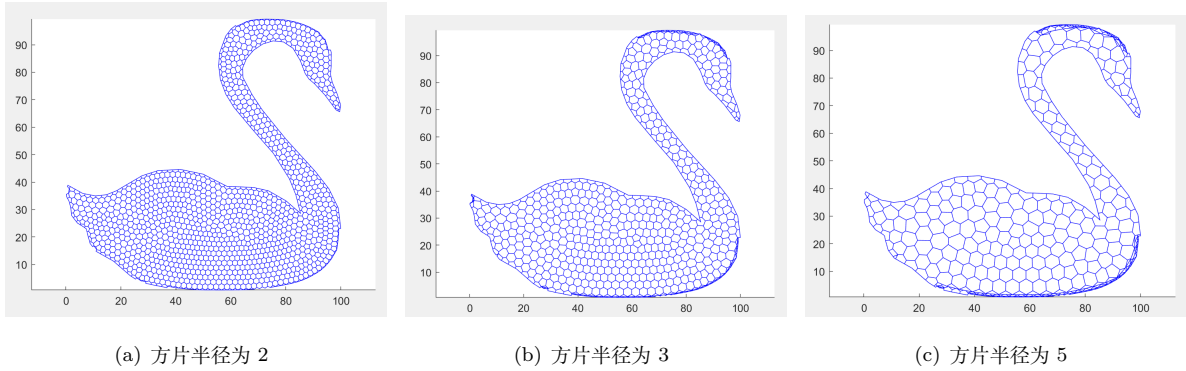


图 17: 多边形剖分

形剖分，编写了函数 `Voronoi_Gravity(k, inter)` 用来计算填充率数组为 `k`，剖分点集 `inter` 对应的重力，`Voronoi_Gravity_Center(k,inter)` 用以计算相同参数的重心，`Voronoi_Shape_Center(inter)` 用以计算浮心，`Voronoi_Floatage(inter)` 用以计算浮力. 采用非线性规划的方式，利用函数 `Voronoi_NonlinearOptimization(inter)` 进行求解，返回数组 `k_opt` 的值，存储每一个剖分的填充率.

最后考虑将问题进行可视化处理，`Voronoi_Color(k_opt, inter, 64)` 函数可以绘制染色后的天鹅图像，64 表示所需要的颜色数.

我们的实验结果如下：

1. 方块半径为 3 的好的剖分，优化的填充率数组见方片范围为 3 方程分布 \_ 三角剖分文件所示. 最



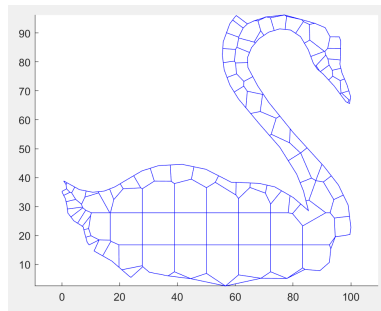


图 18: 均匀分割多边形剖分可能出现的坏点

终达到的重心结果见图 20, 事实上这里采用了限制最大计算量, 因此可以通过计算使得数据更加优化.

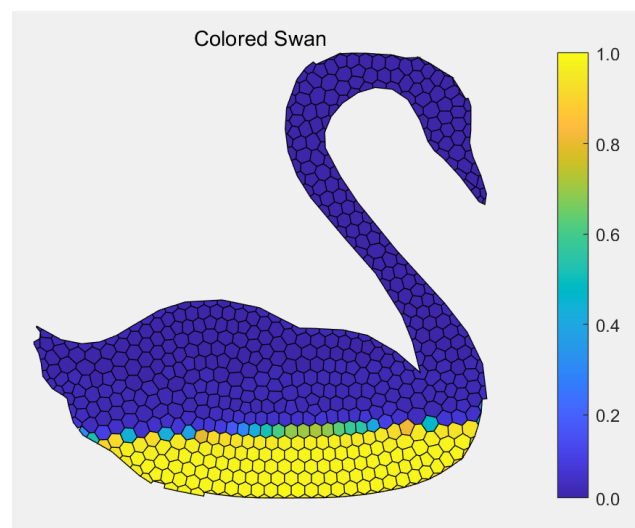


图 19: 方片范围为 3 多边形剖分

|                   |                |
|-------------------|----------------|
| <b>g_center_x</b> | <b>57.7590</b> |
| <b>g_center_y</b> | <b>10.0737</b> |

图 20: 方片范围为 3 多边形剖分重心结果

2. 方块半径为 5 的好的剖分, 优化的填充率数组见方片范围为 5 方程分布 \_ 三角剖分文件所示. 最终达到的重心结果见图 22.
3. 50×50 均匀分割的多边形剖分, 优化的填充率数组见 50×50 均匀分割的多边形剖分文件所示. 最终达到的重心结果见图 24.

可以发现剖分更细致时, 结果明显是更好的; 提前终止导致的结果可能是处于中间值的方块数较多.

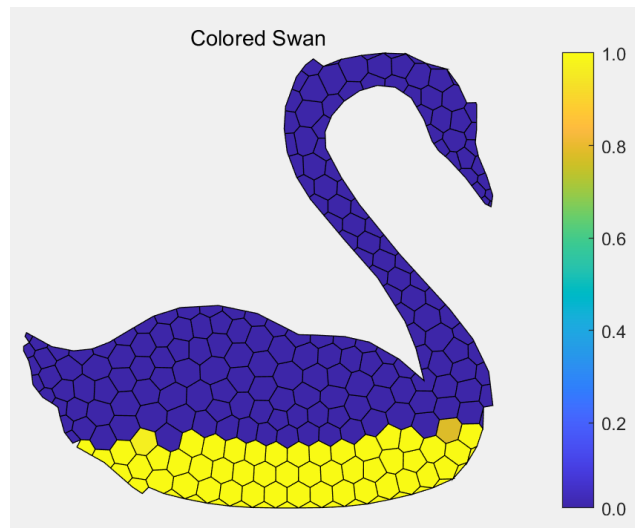


图 21: 方片范围为 5 多边形剖分

|                         |         |
|-------------------------|---------|
| <code>g_center_x</code> | 57.4565 |
| <code>g_center_y</code> | 10.1864 |

图 22: 方片范围为 5 多边形剖分重心结果

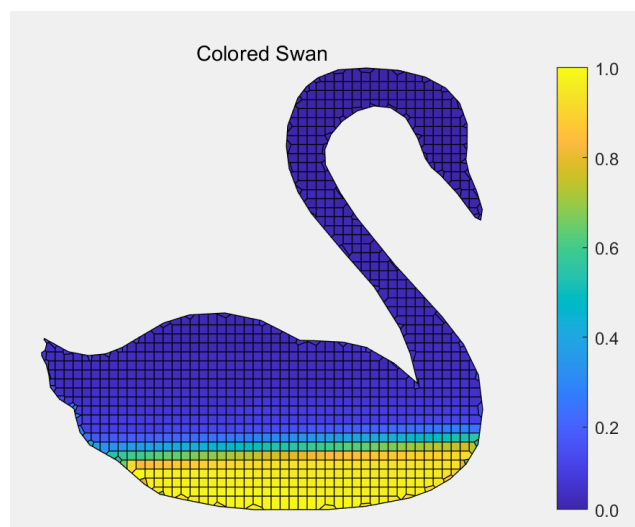


图 23: 50×50 均匀分割的多边形剖分

|                         |         |
|-------------------------|---------|
| <code>g_center_x</code> | 58.1643 |
| <code>g_center_y</code> | 10.9111 |

图 24: 50×50 均匀分割的多边形剖分

### 2.2.3 改变填充率的范围

考虑到 0 填充率与满填充率可能导致物理机能的下降，我们对填充率加上范围的约束，约束为 0.1-0.9，采用方片范围为 3 的三角剖分，实验结果如图 26，优化的填充率数组见对应文件所示。

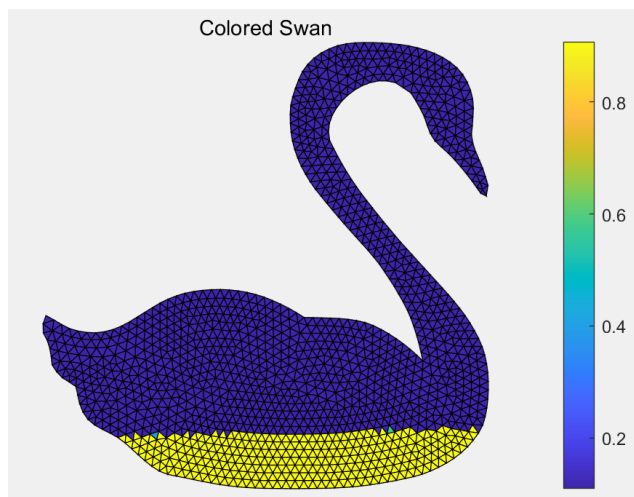


图 25: 方片范围为 3, 约束为 0.1-0.9

|                         |         |
|-------------------------|---------|
| <code>g_center_x</code> | 58.1860 |
| <code>g_center_y</code> | 18.0592 |

图 26: 方片范围为 3, 约束为 0.1-0.9 重心结果

可以注意到改变填充率后, 仍然以下方取到较大值为核心, 不过此时较大值为 0.9, 而上方的较小值取为接近 0.1, 因此重心的高度显著上升, 但是分布几乎不发生改变.

另一方面, 如果范围收缩到足够的小, 如 0.4-0.6 之间, 那么优化结果实际为均匀分布, 如图 27 所示.

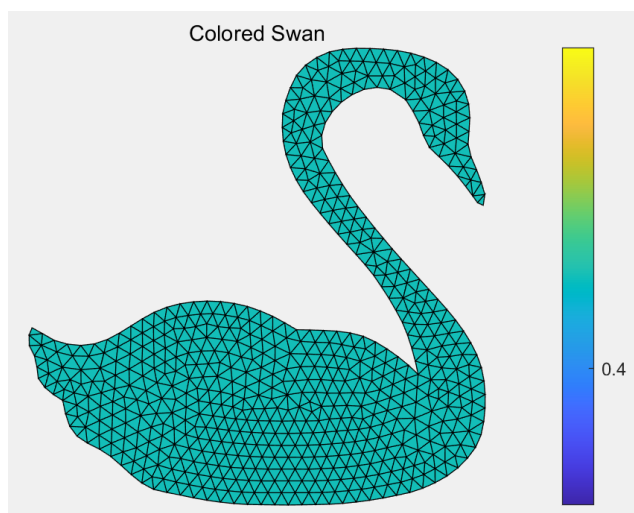


图 27: 方片范围为 3, 约束为 0.4-0.6

#### 2.2.4 改变材料与液体的相对密度

本问题本身的目的是改变填充材料或者液体, 根据算法的分析, 本质是改变了填充材料与液体的相对密度, 在实现的过程中只需要改变优化函数 `NonlinearOptimization` 中等式的系数, 已经在注释中说

明，下面的举例是对于方片范围为 3 的方程分布三角剖分，且液体改变为酒精而言的，其具体数据见对应的 excel 表格，结果如图 29 所示.

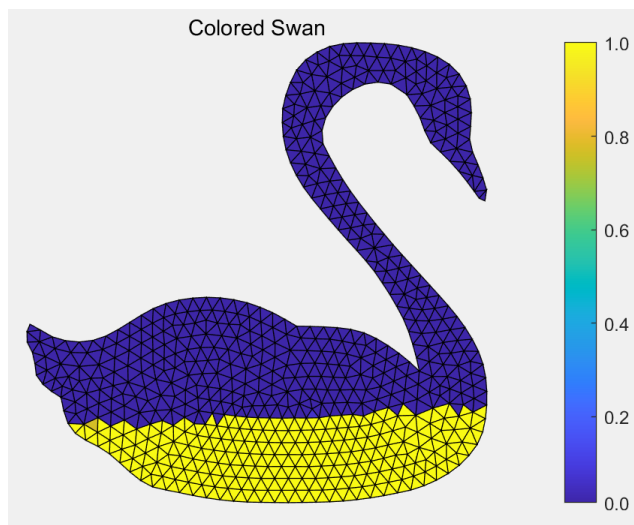


图 28: 方片范围为 3，液体为酒精

|                         |         |
|-------------------------|---------|
| <code>g_center_x</code> | 58.1732 |
| <code>g_center_y</code> | 10.6400 |

图 29: 方片范围为 3，液体为酒精重心结果

### 2.3 问题三

该问题为开放性的问题，对于二维平面内的天鹅，倘若天鹅进行水平方向的运动，在水中的深度不发生变化，因此所受到的浮力不发生改变，等于竖直方向所受到的重力，模型不发生改变. 但是若天鹅在竖直方向存在运动，情况会变得非常复杂，竖直方向的运动一方面会改变天鹅在水中的体积大小，从而改变浮力大小，为了平衡浮力的改变，天鹅应当受到自身的牵引力等；另一方面，运动会带来摩擦力，为了维持平衡，还应该考虑刚体运动的相关问题，需求为外力不允许给予多余的角动量，问题的求解变得困难.

## 3 总结与改善

本 project 有一些部分需要改进.

1. 首先误解了“天鹅水中部分”为  $1/5$ ，误以为为体积，因此对于问题的处理有结果方向的偏差. 如果仅为高度占  $1/5$ ，应该首先对其做均匀的三角剖分，大致求出在水中的体积后利用给出的算法进行计算.
2. 对于多边形剖分，边界处的情况并不是很自然，想要得到自然的边界需要利用 `mpt` 工具箱中的函数，可以让结果更加美观，否则坏点可能会影响多边形的面积计算.
3. 对于边界，还可以先对其用曲线拟合，达到更好的天鹅效果.

### 4 实验的完善与改进

笔者对该实验提出的不足进行了完善. 首先关于最大的误解问题, 笔者完成了 `proportion` 函数, 逻辑为对天鹅进行均匀的剖分, 所有顶点均在天鹅高度的  $1/5$  一下的点被认为是处于水中的点, 由于均匀剖分自身拥有良好的性质, 在较大时与打网格的结果类似, 随着阶的不断上升, 所求的比例越来越大, 也越来越接近准确的值, 对于  $1000 \times 1000$  的分割, 我们得到的实验结果为  $0.3402$ , 即水中的体积估计值, 实验结果如图 30 所示.

prop0.3402

图 30: 比例的准确结果

那么在之后的运算中我们将原先的  $5$  应该替换为  $\frac{1}{0.3402}$ . 因此问题一所求的结果应修正为:

$$k = \frac{0.3042 \times \rho_0}{\rho} = 24.34\%.$$

(4.1)

之后再对我们的结果进行修正. 修正如下, 并修改了对应的表格, 列举了一部分修正, 其余方法相同, 只需要执行程序即可:

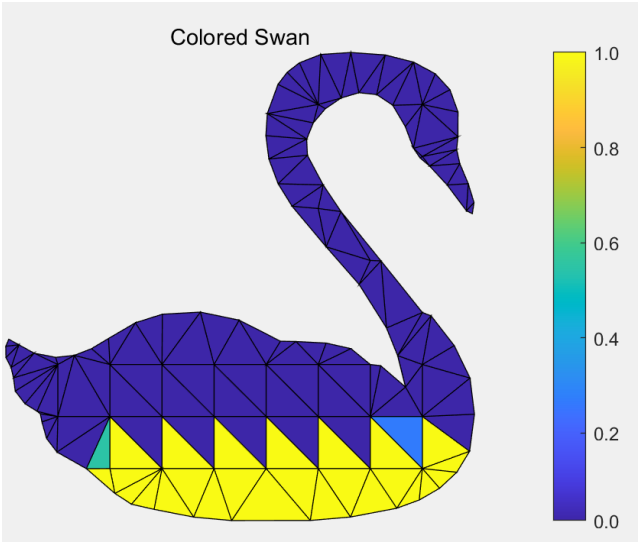


图 31:  $10 \times 10$  的均匀三角剖分

g\_center\_x58.0741g\_center\_y9.9750

图 32:  $10 \times 10$  的均匀三角剖分重心结果

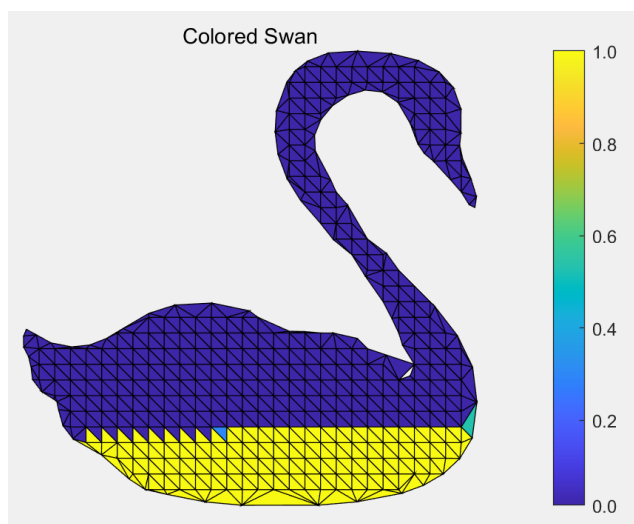


图 33: 30×30 的均匀三角剖分

|            |         |
|------------|---------|
| g_center_x | 58.0217 |
| g_center_y | 9.5579  |

图 34: 30×30 的均匀三角剖分重心结果

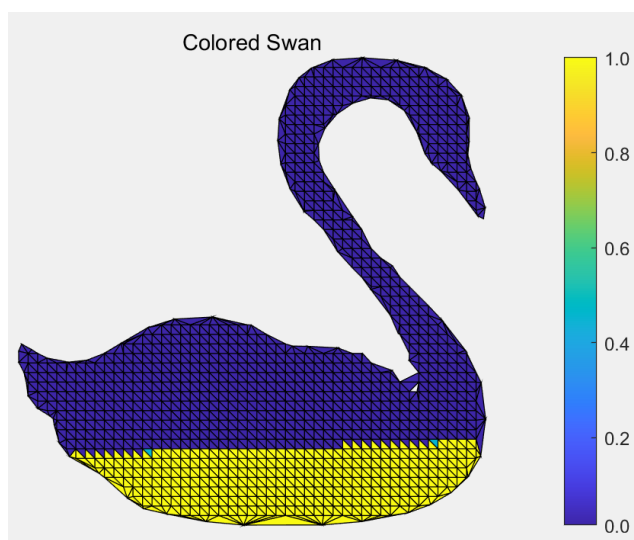


图 35: 50×50 的均匀三角剖分

|            |         |
|------------|---------|
| g_center_x | 58.0205 |
| g_center_y | 9.5354  |

图 36: 50×50 的均匀三角剖分重心结果

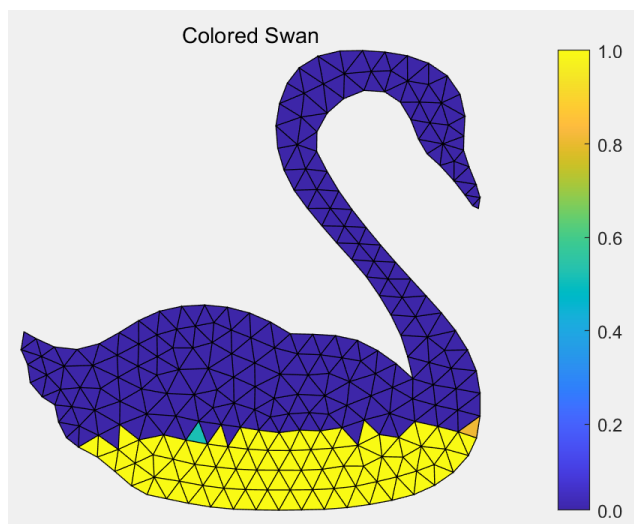


图 37: 方片范围为 5 方程剖分

|                         |         |
|-------------------------|---------|
| <code>g_center_x</code> | 58.1502 |
| <code>g_center_y</code> | 9.6126  |

图 38: 方片范围为 5 方程剖分重心结果

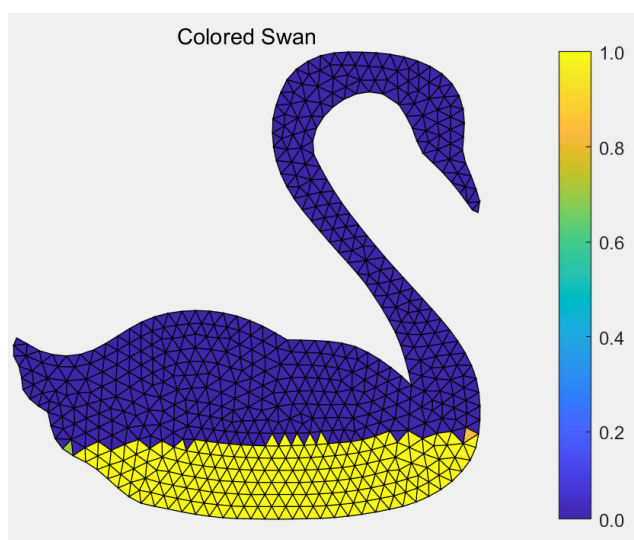


图 39: 方片范围为 3 方程剖分

|                         |         |
|-------------------------|---------|
| <code>g_center_x</code> | 58.1732 |
| <code>g_center_y</code> | 9.5759  |

图 40: 方片范围为 3 方程剖分重心结果

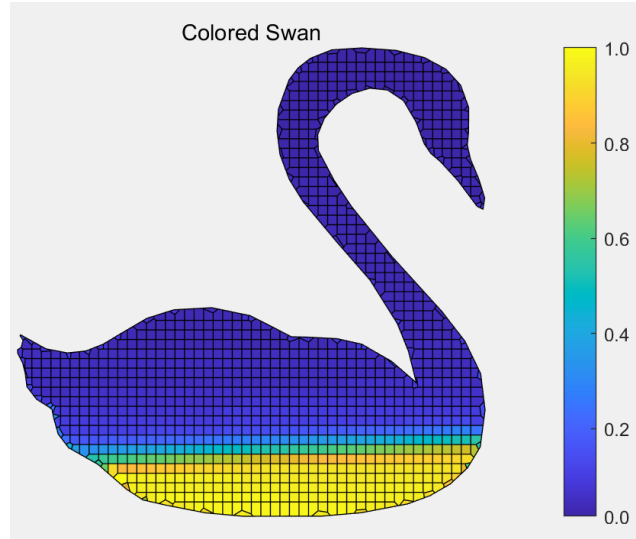


图 41: 50×50 均匀分割的多边形剖分

|            |         |
|------------|---------|
| g_center_x | 58.1643 |
| g_center_y | 10.9111 |

图 42: 50×50 均匀分割的多边形剖分重心结果

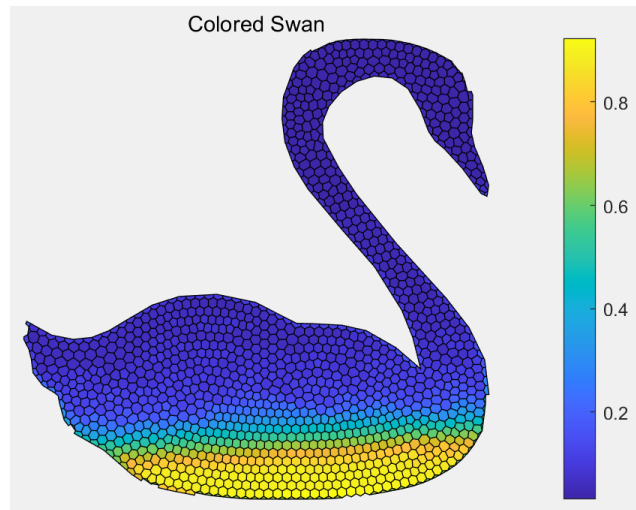


图 43: 方片范围为 2 的多边形剖分

|            |         |
|------------|---------|
| g_center_x | 57.9099 |
| g_center_y | 13.8129 |

图 44: 方片范围为 2 的多边形剖分重心结果，这里做不到最好是由于控制了最大计算次数



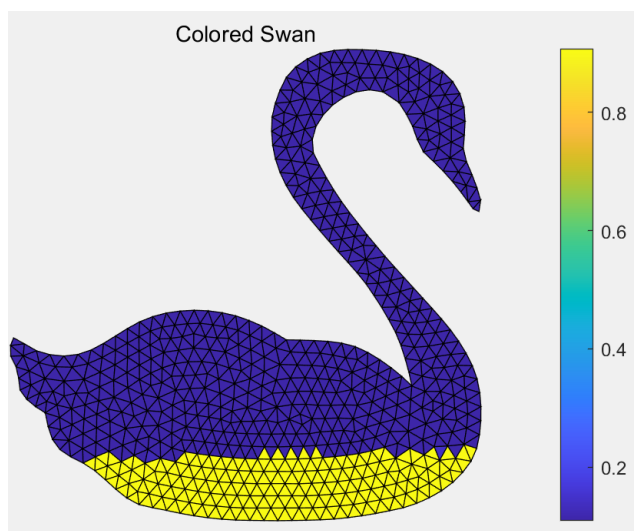


图 45: 方片范围为 3 的三角剖分, 范围为 0.1-0.9

|                         |         |
|-------------------------|---------|
| <code>g_center_x</code> | 58.1732 |
| <code>g_center_y</code> | 17.6852 |

图 46: 方片范围为 3 的三角剖分, 范围为 0.1-0.9 重心结果

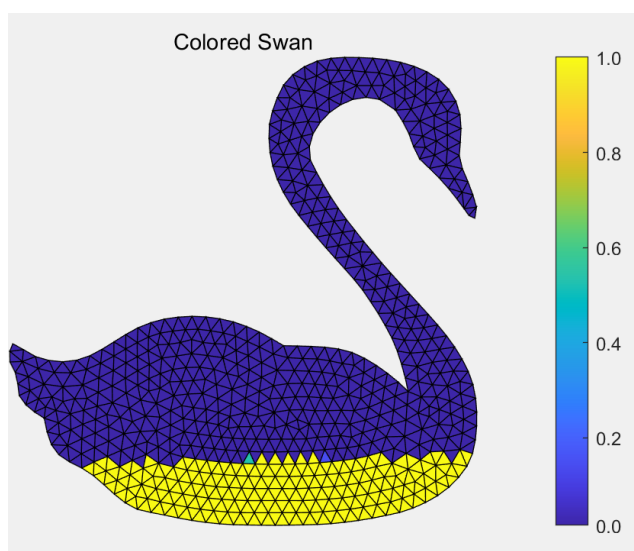


图 47: 方片范围为 3 的三角剖分, 酒精

|                         |         |
|-------------------------|---------|
| <code>g_center_x</code> | 58.1732 |
| <code>g_center_y</code> | 8.0817  |

图 48: 方片范围为 3 的三角剖分, 酒精结果